

ИЗВЕСТИЯ  
ТОМСКОГО ОРДЕНА ТРУДОВОГО КРАСНОГО ЗНАМЕНИ  
ПОЛИТЕХНИЧЕСКОГО ИНСТИТУТА имени С. М. КИРОВА

Том 161

1967

## К ДИНАМИКЕ ЭЛЕКТРОМАГНИТОВ ПОСТОЯННОГО ТОКА

В. Н. ГУРНИЦКИЙ

(Рекомендовано научным семинаром электромеханического факультета)

Расчету динамических режимов электромагнитов постоянного тока посвящено большое число работ [Л. 1—8 и др.]. Динамические характеристики электромагнита дают реальную картину всех протекающих в нем сложных электромагнитных, электромеханических и, в конечном итоге, тепловых процессов.

Однако до настоящего времени не существует достаточно простого и наглядного метода, позволяющего с помощью небольшого числа вычислительных и графических операций, при простоте математического аппарата произвести расчет динамических переходных процессов электромагнита. В данной работе ставится цель в какой-то мере восполнить этот пробел.

Главными динамическими характеристиками электромагнита считаются зависимости пути якоря и тока в обмотке от времени. Для Ш-образного электромагнита с поперечно движущимся якорем, являющегося элементом линейного электромагнитного двигателя (рис. 1), главными динамическими характеристиками следует считать кривые скорости якоря и тока в обмотке.

Переходные процессы в электромагните, как известно, полностью описываются следующими уравнениями

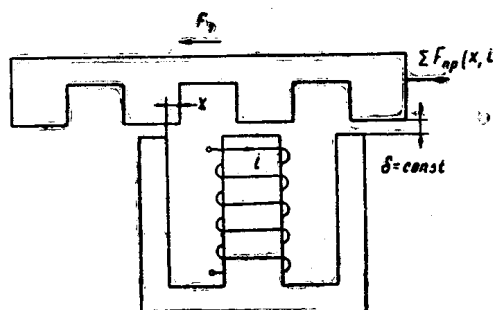


Рис. 1. Ш-образный электромагнит с поперечно движущимся зубчатым якорем.

$$U = ir + \frac{d\psi}{dt}, \quad (1)$$

$$m \frac{d^2x}{dt^2} = m \frac{dV}{dt} = F_t - \Sigma F_{pr}, \quad (2)$$

где  $U$  — приложенное напряжение к обмотке;

$i$  — мгновенное значение тока;

$r$  — активное сопротивление цепи обмотки;

$\frac{d\psi}{dt}$  — скорость изменения потокосцепления обмотки во времени;

$m$  — приведенная к якорю масса движущихся частей;

$x$  — путь якоря;

$V$  — мгновенная скорость якоря;

$F_t$  — электромагнитная сила тяги, развиваемая якорем;

$\Sigma F_{np}$  — суммарная противодействующая сила.

Выразим из уравнений (1) и (2)  $V = \frac{\Delta x}{\Delta t}$  в конечных разностях.

Опуская промежуточные преобразования, получим из уравнения (1)

$$V' = \frac{[U - (i_n + \frac{\Delta i}{2}) r] \Delta x}{\Delta \psi}, \quad (3)$$

из уравнения (2)

$$V'' = \frac{V_n}{2} + \sqrt{\frac{V_n^2}{4} + \frac{\Delta x}{m} (F_t - \Sigma F_{np})}, \quad (4)$$

где  $\frac{\Delta i}{2}$  и  $\frac{\Delta \psi}{2}$  — средние значения приращений тока и потокосцепления на участке пути  $\Delta x$ ;

$i_n$  — величина тока в конце интервала, предыдущего рассматриваемому;

$V_n$  — скорость якоря в конце каждого предыдущего интервала.

Электромагнитная сила тяги  $F_t$  на каждом интервале приближенно определяется

$$F_t = \frac{i_n + \frac{\Delta i}{2}}{2} \cdot \frac{\Delta \psi}{\Delta x}. \quad (5)$$

Для построения динамических характеристик электромагнита необходимо знать зависимости изменения потокосцепления его обмотки по пути перемещения якоря. Построим эти характеристики (рис. 2) для различных токов, отличающихся на  $\Delta i = \text{const}$ .

До начала уравнения якоря магнитная цепь большинства электромагнитов не насыщена, поэтому ток и время трогания определяются по обычным формулам

$$i_t = \sqrt{\frac{2(\Sigma F_{np})_n}{(\frac{dL}{dx})_n}}, \quad (6)$$

$$t_c = \frac{L_n}{r} \cdot \ln \frac{1}{1 - \frac{r}{U} \cdot i_t}, \quad (7)$$

где  $(\Sigma F_{np})_n$  — суммарная противодействующая сила в момент начала движения якоря;

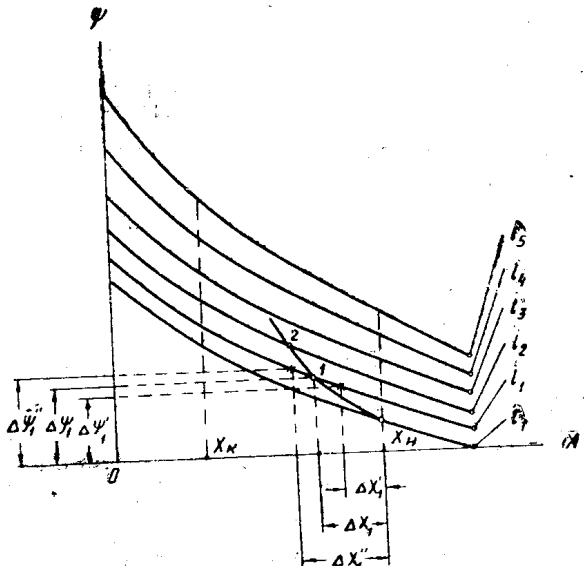


Рис. 2. Построение переходной кривой потокосцепления.

$\left(\frac{dL}{dx}\right)_n$  — производная индуктивности обмотки в начальной точке пути (определяется методом касательной);  
 $L_n$  — начальная индуктивность.

Среднее значение тока  $i_1$  на первом участке движения  $\Delta x_1$  равно

$$i_1 = i_t + \frac{\dot{M}}{2}.$$

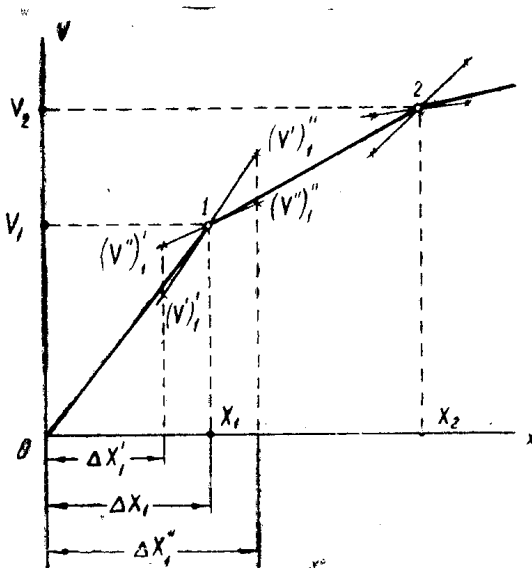


Рис. 3. Построение характеристики скорости якоря электромагнита от пути.

Изменение всех остальных величин на участке  $\Delta x_1$  далее легко определяется. На всех следующих участках построения производится таким же образом. Некоторые величины в ходе динамического процесса (ток, потокосцепление) могут уменьшаться. Тогда их приращения нужно брать со знаком «минус». При этом сами величины проходят через экстремум, что видно в ходе построения.

Рассмотренная методика построения динамических характеристик электромагнитов постоянного тока была проведена при расчете динамических характеристик электромагнита, изображенного на рис. 1. Погрешности вычислений по сравнению с соответствующими осциллограммами не превышали 10—15%, что объясняется, в первую очередь, неточностями представления зависимостей  $\psi(x)$  при  $t=var$ .

### Выводы

1. Не имеющая никаких ограничений, кроме пренебрежения вихревыми токами, предлагаемая методика, очевидно, может быть применена также для расчета динамических переходных процессов и других электромагнитных механизмов постоянного тока.

2. Накопление ошибки в ходе построений не происходит, так как на каждом интервале она корректируется совместным графическим решением рабочих уравнений (3) и (4).

3. В случае ненулевой начальной скорости якоря, динамические характеристики электромагнита могут быть построены с использованием тех же формул.

Предположим, что якорь переместился из начального положения  $x_n$  на малое расстояние  $\Delta x_1'$ ; по кривым  $\psi(x)$  (рис. 2) найдем соответствующее приращение  $\Delta\psi_1'$ . Используя формулы (3), (4), (5), определим  $(V')_1'$  и  $(V'')_1'$ .

Для другого приращения  $\Delta x_1''$  аналогичным образом найдем  $(V')_1''$  и  $(V'')_1''$ .

Соединим точки  $(V')_1'$  и  $(V')_1''$ , а также  $(V'')_1'$  и  $(V'')_1''$  прямолинейными отрезками (рис. 3). Их пересечение даст графическое решение уравнений (3) и (4) на первом интервале: скорость  $V_1$  и путь  $x_1$ .

## ЛИТЕРАТУРА

1. Э. Яссе. Электромагниты, ГЭИ, 1934.
2. Н. А. Лившиц. К вопросу об анализе времени движения якоря электромагнитных механизмов, Автоматика и телемеханика № 2, 1939; Определение времени движения подвижных органов электромагнитного механизма при его срабатывании, Известия электропромышленности слабого тока № 11, 1940.
3. А. И. Москвитин. Основные проблемы электрических машин прямолинейного движения, Электричество № 2, 1941; Уравнения процессов в электромагните с движущимся якорем, Известия АН СССР ОТН № 4, 1948; Электрические машины возвратно-поступательного движения, АН СССР, 1950.
4. Б. С. Сотков. Элементы автоматической и телемеханической аппаратуры, ГЭИ, 1950; К вопросу о приближенном решении уравнений движения для подвижной системы реле, Автоматика и телемеханика № 1, 1950; Сотков Б. С. и др. Зависимость времени движения подвижной системы реле от параметров реле, Автоматика и телемеханика № 4, 1951.
5. Н. Е. Лысов. Расчет электромагнитных механизмов, Оборонгиз, 1949.
6. И. И. Пеккер. Применение методов численного интегрирования для расчета динамических характеристик электромагнитов постоянного тока, Труды МЭИ вып. VII, ГЭИ, 1951; Графоаналитический расчет динамических характеристик электромагнитов, ИВУЗ Электромеханика № 8, 1958; О представлении динамических характеристик электромагнитов с помощью степенных рядов, ИВУЗ Электромеханика № 9, 1958.
7. Р. А. Агаронянц. Переходные процессы электромагнитных механизмов постоянного тока в динамическом режиме, Вестник электропромышленности № 3, 1958.
8. Тер-Акопов А. К. Аналитический метод расчета динамики электромагнитов постоянного тока, Электричество № 5, 1960.